

## تأثیر آلومینیوم موجود بر نمودارهای فازی تعادلی Fe-C-Al-Si\*

(یادداشت پژوهشی)

علیرضا کیانی رشید<sup>(۱)</sup>

## چکیده

MTDATA، بسته نرم افزاری قدرتمندی برای محاسبه شرایط تعادلی و دیاگرام‌های فازی است. این نرم افزار برای بررسی استحاله‌های فازی یا شبیه سازی فرآیندها قابل استفاده است که بستگی به نوع پایگاه داده‌هایی دارد که در اتصال با آن‌ها می باشد. در این تحقیق نمودارهای فازی سیستم آهن-کربن-آلومینیوم-سیلیسیم (Fe-C-Al-Si) با به کار بردن نرم افزار MTDATA و استفاده از پایگاه داده‌های SGTE محاسبه گردیدند تا فازهای موجود در دماهای متفاوت و محدوده ترکیب شیمیایی مورد نظر و در شرایط تعادلی تعیین شوند. مشاهده گردید که افزایش آلومینیوم باعث تغییرات تعادلی آهن-کربن در این ترکیبات آلیاژی می شود. ناحیه آستنیت با افزایش آلومینیوم کوچک تر شده و برای چدن‌های حاوی حدود ۴/۸۸٪ Al یا بیش تر هیچ نشانی از یک ناحیه آستنیتی دیده نمی شود. نتایج تجربی حاصل از عملیات حرارتی و دیلاتومتری در تلفیق با مشاهدات انجام گرفته با میکروسکوپ‌های نوری و الکترونی گواه توافق خوب نمودارهای فازی محاسبه شده برای مقادیر کم و مقدار بالای ۶/۱۶٪ Al می باشد. به هر حال محاسبات انجام شده برای ۴/۸۸٪ Al با مشاهدات اختلاف نشان می دهد و آزمایش‌ها با آلیاژ حاوی این مقدار آلومینیوم بیانگر این نکته است که استحاله‌های آستنیتی در این آلیاژ اتفاق می افتد، درحالی که شهادی بر حضور ناحیه  $\gamma$  در نمودار فازی محاسبه شده وجود ندارد.

**واژه‌های کلیدی** شبیه سازی، آلومینیوم، نمودارهای فازی، آستنیت ( $\gamma$ )، نرم افزار MTDATA.

## The influence of Al content on the Fe-C-Al-Si equilibrium phase diagrams

A.R. Kiani-Rashid

## Abstract

MTDATA is a powerful software package for equilibrium conditions and phase diagram calculations. It can be applied in phase transformation or process simulations depending on the kind of databases they are connected to. The iron-carbon-aluminium-silicon (Fe-C-Al-Si) phase diagrams were calculated using MTDATA software and SGTE databases to determine the phases that are present at various temperature and composition ranges in equilibrium conditions. It was observed that the iron-carbon equilibrium could be modified by addition of aluminum. The austenite region decreased with increasing Al content, and in the case of cast irons containing about 4.88%Al or more, the austenite zone was disappeared. Further results obtained from heat treatment cycles and dilatometry examinations together with optical and electron microscopic investigations showed a good agreement with the calculated phase diagrams for low as well as high (6.16%)Al addition. However, there was a difference between the observations made for 4.88%Al. Experiments conducted on an alloy containing this Al content showed that the austenitic reaction occurred in the alloy, whereas no evidence was found for the  $\gamma$ -region in the corresponding phase diagram.

**Key Words** Simulation, Aluminium, Phase Diagrams, Austenite ( $\gamma$ ), MTDATA Software

\* نسخه نخست مقاله در تاریخ ۸/۲۳/۸۶ و نسخه پایانی آن در تاریخ ۵/۲۰/۸۷ به دفتر نشریه رسیده است.

(۱) ، گروه مهندسی متالورژی و مواد، دانشکده مهندسی، دانشگاه فردوسی مشهد

### مقدمه

نمودارهای فازي تعادلي در مباحث متالورژيكي از اهميت زيادي برخوردارند. به كمك اين نمودارها امكان بررسي ريزساختار آلياژها، تركيب شيميايي آنها و همچنين، تعيين نوع و درصد فازها فراهم مي‌شود. در اين راستا محققان روش‌هاي بسيار متنوعي را براي رسم آنها ارائه کرده‌اند كه بسياري از اين روش‌ها نياز به تهيه نمونه‌هاي بسيار و انجام آزمايش‌هاي پر دامنه دارند. در همين راستا همواره تمايل فراواني براي بهره‌گيري از رايانه و سيستم شبیه‌سازي وجود داشته و تعداد قابل توجهي از اين نرم‌افزارها طراحي و استفاده شده‌اند. نمونه‌هايي از بسته‌هاي نرم‌افزاري كه اخيراً مورد استفاده قرار گرفته‌اند، Thermo- و MTDATA Calc مي‌باشند [1,3].

توانمدي اين نرم‌افزارها بستگي به پاينگاه‌هاي اطلاعاتي عظيمي دارد كه توسط گروه‌هاي علمي سازمان يافته‌اي همچون SGTE حمايت شده و امكان كنترل و استاندارد كردن آنها را فراهم مي‌سازند. مفروضات و داده‌هاي مورد استفاده در نرم‌افزار MTDATA به طور كاملاً كنترل شده‌اي توسط گروه علمي اروپايي ترموداتا گردآوری و ارزيابي شده است كه با توسعه علوم و دريافت اطلاعات جديد، اين نرم افزار به طور پيوسته در حال به هنگام شدن و بهبود مي‌باشد [4,7].

در سيستم نرم‌افزاري MTDATA امكانات فراواني در زمينه‌هاي متالورژي، شيمي، علم مواد و علوم ديگر، با توجه به داده‌هاي در دسترس، وجود دارد. با توجه به تنوع زياد عناصر و امكان آلياژسازي بي‌شمار اين عناصر امكان جمع‌آوری اطلاعات موثق براي كليۀ اين مواد مشكل و گاهي غير ممكن به نظر مي‌رسد. با توجه به اينكه کاربران اين برنامه‌ها علاقه‌مند به تهيه نمودارهاي فازي و يا مدل سازي جديدي بر اساس آلياژهاي مورد نظر مي‌باشند، اين برنامه‌ها به گونه‌اي طراحي و نوشته شده‌اند كه امكان

ورود اطلاعات مورد نظر را با توجه به تنوع در تركيب شيميايي، خواص و هم‌چنين شرايط خارجي حاكم از نظر ساير پارامترهاي ترموديناميكي فراهم مي‌سازند. ضمناً مشكلات مرتبط با عوامل اختلاط از قبيل تعادل مابين آلياژهاي مذاب و جامد و فازهاي هم‌چون مات، سرباره و گاز به كمك مدل‌هاي ترموديناميكي مورد نياز قابل حل بوده و دامنه وسيعي از خواص اين فازها در نرم‌افزار و ساختارهاي پاينگاه داده‌ها منظور شده است [6,10].

از قابليت‌هاي بسيار خوب چدن‌هاي حاوي آلومينيوم در مقايسه با چدن‌هاي معمولي، مقاومت بالا در برابر اكسيداسيون در دماهاي بالا، استحكام بالاتر در دماي اتاق و دماهاي بالا، وزن مخصوص كم تر و قابليت ماشين كاري بهتر، مي‌باشد [11,16].

بسته نرم‌افزاري MTDATA در سطح گسترده‌اي براي محاسبه و رسم ديگرام‌هاي فازي مورد استفاده قرار مي‌گيرد و در مقايسه با ساير نرم‌افزارها از توانمدي‌هاي خوبي برخوردار است. در اين تحقيق از MTDATA براي رسم نمودارهاي تعادلي فازي Fe-C-Al-Si بهره گرفته شد تا قابليت‌هاي آن در ارتباط با اين گروه خاص از اين دسته آلياژهاي چدني بررسي شود. در همين ارتباط ضمن توجه به محدوديت‌هاي ناشي از كمبود اطلاعات پاينگاه داده‌ها، با تغيير درصد آلومينيوم از ۰/۱ درصد تا ۶/۱۶ درصد به بهترين محدوده تطابق نمودارهاي محاسباتي و نتايج تجربی اشاره شده است.

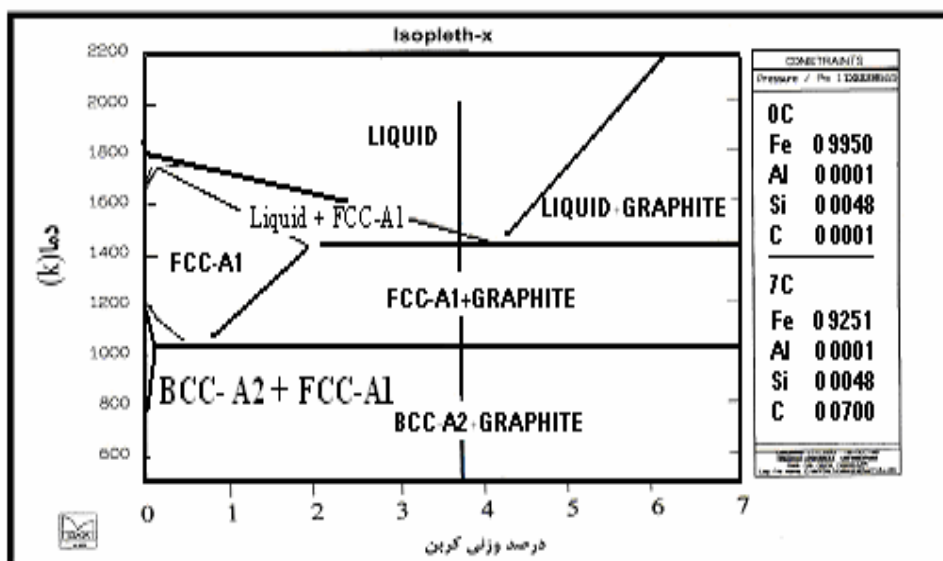
### مواد و روش تحقيق

در اين پژوهش بازه‌اي از دما و تركيب شيميايي براي هر يك از آلياژهاي مورد نظر انتخاب شد. با انجام محاسبات مربوط به حداقل انرژي گيبس، فازهاي پايدار تعيين و به صورت مقاطع ايزوپلس رسم گرديد (شكل‌هاي ۱ تا ۶). براي اطمينان بيش تر اطلاعات به دست آمده از محاسبات با نتايج تجربی مقايسه گرديد

زمان کافی به آلومینیوم داده شد تا به طور کامل در مذاب حل گردد. برای کروی کردن از فرو-سیلیکو-منیزیم حاوی ۵ درصد منیزیم و برای جوانه زایی از فروسیلیسیم حاوی ۷۵ درصد سیلیسیم بهره گرفته شد. پس از آلیاژسازی، مطابق با استاندارد ۸۰-۸۵۳۶ ASTM بلوک‌هایی از آلیاژهای مورد نظر در قالب‌های ماسه سیلیسی ریخته گری گردید. دمای تقریبی مذاب ریزی  $1350^{\circ}\text{C}$  بود. وجود محفظه واکنش در سیستم راهگاهی به خاطر افزایش راندمان کروی‌سازی توسط مواد تلقیح کننده است. ترکیب شیمیایی به روش کوانتومتری تعیین گردید. برای اندازه‌گیری مقادیر دقیق تر کربن و آلومینیوم از روش‌های مجزایی بهره گرفته شد. این آزمایش‌ها در بریتیش استیل (شفیلد) و مرکز فن‌آوری تحقیق بالای دانشگاه بیرمنگام انگلیس (HIST) انجام شد.

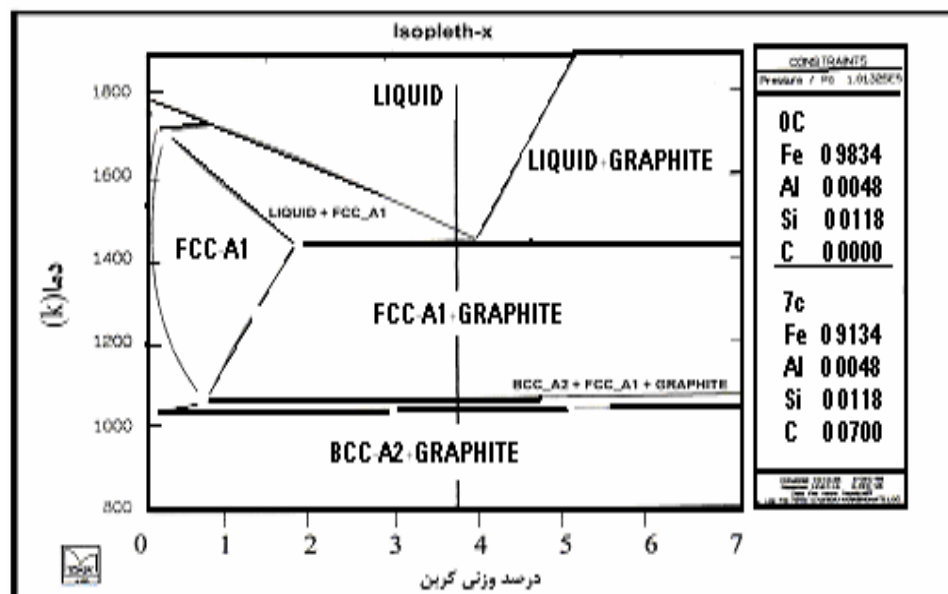
که در بسیاری از موارد از تطابق بسیار خوبی برخوردار بودند و از این رو، قابل استناد می‌باشند.

در این تحقیق شمار قابل ملاحظه ای ذوب در کوره‌های بوت‌های و القایی تهیه و ریخته گری شد که تعدادی از آن‌ها در جدول (۱) نشان داده شده است. کوره بوت‌های از تولیدات مورگان بوده و با سوخت گازی طراحی شده است. ظرفیت این کوره ۲۵ کیلوگرم است که با خارج کردن بوت‌ها امکان مذاب ریزی فراهم می‌شود. کوره القایی از نوع فرکانس بالا و با قابلیت کج شونده جهت خروج مذاب از بوت‌ها مربوطه است. ظرفیت این کوره ۲۰ کیلوگرم می‌باشد. بعد از ذوب، مذاب چدن تا دمای  $1550^{\circ}\text{C}$  فوق‌گداز شد. در این مرحله از ذوب، قطعات کوچک آلومینیومی با روش غوطه وری به عمق مذاب افزوده شد تا از شناوری آن‌ها در حین ذوب و همچنین اکسید شدن درصد بالایی از آن‌ها جلوگیری شود. در همین ارتباط

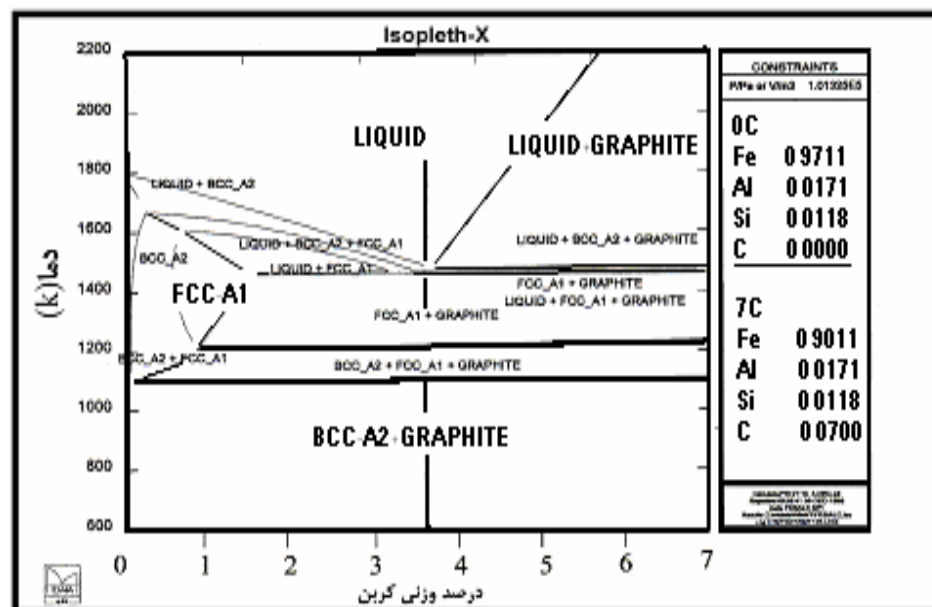


شکل ۱ نمودار فازی سیستم (Fe-C-Al-Si) برای آلیاژهای حاوی Al ۰.۰۱٪،

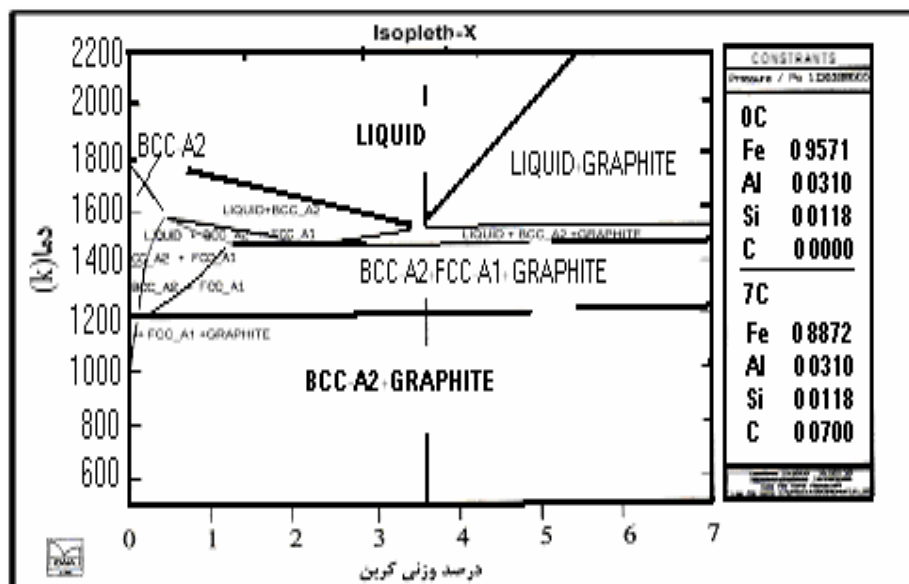
رسم شده با نرم افزار MTDATA



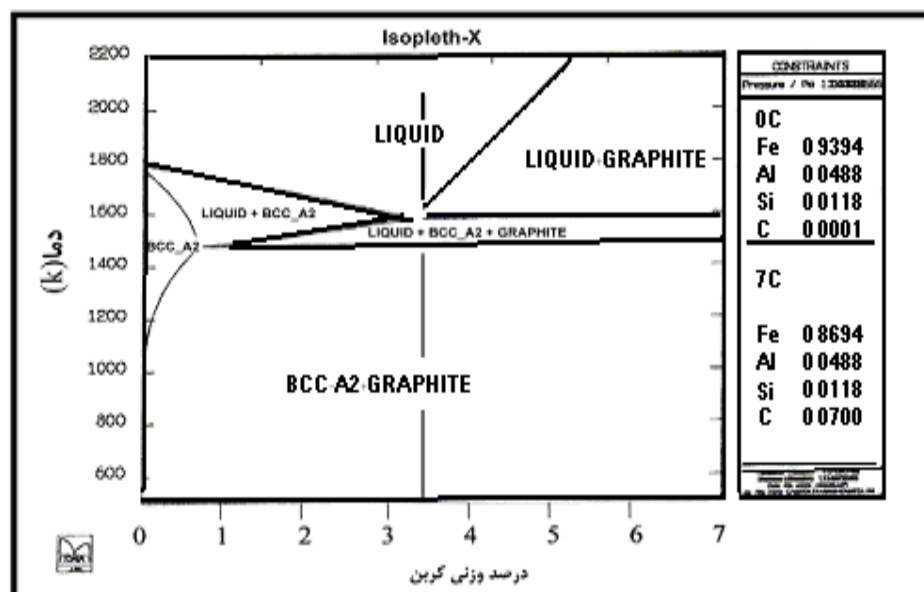
شکل ۲ نمودار فازی سیستم (Fe-C-Al-Si) برای آلیاژهای حاوی Al ۰.۰۰۴۸٪،  
رسم شده با نرم افزار MTDATA



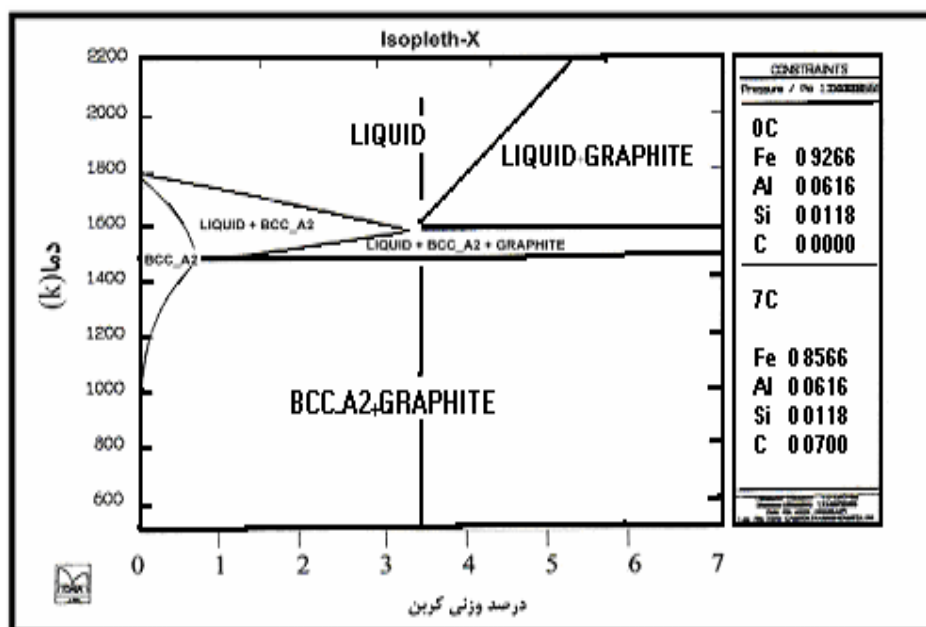
شکل ۳ نمودار فازی سیستم (Fe-C-Al-Si) برای آلیاژهای حاوی Al ۰.۰۱۷۱٪،  
رسم شده با نرم افزار MTDATA



شکل ۴ نمودار فازی سیستم (Fe-C-Al-Si) برای آلیاژهای حاوی ۱۰.۳٪ Al  
رسم شده با نرم افزار MTDATA



شکل ۵ نمودار فازی سیستم (Fe-C-Al-Si) برای آلیاژهای حاوی ۸.۴٪ Al  
رسم شده با نرم افزار MTDATA



شکل ۶ نمودار فازی سیستم (Fe-C-Al-Si) برای آلیاژهای حاوی Al ۰.۰۶۱۶٪

رسم شده با نرم افزار MTDATA

جدول ۱ ترکیب شیمیایی آلیاژها، درصد وزنی (wt%)

آلیاژ	Al	C	Si	Ni	Mn	P	S	Mg	Fe
Al ۰.۰۱۱٪	۰.۰۱	۳.۷۱	۱.۰۸	۰.۰۳	۰.۰۹	<۰.۰۰۵	<۰.۰۰۵	۰.۰۵	باقی مانده
Al ۰.۰۴۸٪	۰.۴۸	۳.۶۸	۱.۰۶	۰.۰۴	۰.۰۶	<۰.۰۰۵	<۰.۰۰۵	۰.۰۵	باقی مانده
Al ۰.۱۷۱٪	۱.۷۱	۳.۵۸	۱.۱۸	۰.۰۴	۰.۰۷	<۰.۰۰۵	<۰.۰۰۵	۰.۰۵	باقی مانده
Al ۰.۳۱۰٪	۳.۱۰	۳.۴۸	۱.۲۴	۰.۰۵	۰.۱۰	<۰.۰۰۵	<۰.۰۰۵	۰.۰۶	باقی مانده
Al ۰.۴۸۸٪	۴.۸۸	۳.۴۴	۱.۲۲	۰.۰۵	۰.۱۰	<۰.۰۰۵	<۰.۰۰۵	۰.۰۵	باقی مانده
Al ۰.۶۱۶٪	۶.۱۶	۳.۲۵	۱.۲۵	۰.۰۷	۰.۱۰	<۰.۰۰۵	<۰.۰۰۵	۰.۰۶	باقی مانده

بر روی نمونه‌های استوانه‌ای توخالی با طول ۱۰ mm، با قطر ۳ mm و حفره داخلی ۱/۵ mm که سرد کردن سریع را امکان پذیر می‌سازد، انجام گرفت. درهمین ارتباط چرخه‌های عملیات حرارتی متنوعی طراحی و اعمال گردید تا دگرگونی‌های فازی در آلیاژها تعیین شود [15].

تعیین ریزساختار توسط میکروسکوپ‌های نوری و الکترونی روبشی (SEM) انجام شد.

عملیات آستنیته کردن در دماها و زمان‌های نگه داری متفاوتی صورت گرفت و قبل و بعد از عملیات حرارتی آزمایش‌های متالوگرافی، سختی سنجی و دیلاتومتری انجام شد. برای تکمیل آزمایشات از دستگاه دیلاتومتری Diatronic III با سرعت بالا و در شرایط خلأ و خنک کردن سریع با گاز خنثی بهره گرفته شد. سرد کردن تا دمای مورد نظر توسط جریان گاز هلیوم با فشار زیاد با سرعت سرد کردن ۲۵°C/sec

دقیقه در دمای  $920^{\circ}\text{C}$  آستنیته شده و سپس در آب کوئنچ شده است. این نوع عملیات حرارتی نشان‌دهنده تغییر جلدی در ریزساختار است. زمینه چدن به طور کامل مارتزیتی شده و گواه خوبی بر وجود ناحیه آستینیتی در نمودار فازای تعادلی آن است که با نمودارهای محاسباتی تطابق خوبی را نشان می‌دهد [15,17].

شکل (۷) نشان دهنده ریزساختار چدن حاوی  $4/88\text{Al}$ ٪ در حالت ریختگی است. در این ساختار گرافیت‌های کروی در زمینه‌ای فریتی - پرلیتی مشاهده می‌شوند. نمونه‌های متعددی از این آلیاژها انتخاب و عملیات حرارتی متنوعی بر روی آنها انجام گردید. در همین ارتباط ریزساختار چدن حاوی  $4/88\text{Al}$ ٪ که در دمای  $920^{\circ}\text{C}$  به مدت ۹۰ دقیقه آستنیته شده و سپس در  $350^{\circ}\text{C}$  به مدت ۱۰۰ دقیقه آستمبر گردیده و نهایتاً تا دمای اطاق سرد شده‌اند، در شکل (۸) نمایش داده شده است. ساختار نهایی متشکل از فازهای گرافیت کروی، فریت بینیتی و آستنیت باقیمانده می‌باشد. زمینه بینیتی نشان دهنده پاسخ مناسب نمونه‌های چدنی به این گونه عملیات حرارتی است.

نمونه دیگری از این خانواده آلیاژی چدن‌های نشکن حاوی  $6/16\text{Al}$ ٪ می‌باشد. در ریزساختار این نوع از چدن گرافیت‌های کروی در زمینه‌ای از فازهای با درصد بالایی از آلومینیوم مشاهده می‌شود. با انجام عملیات حرارتی بعدی که در شرایطی مشابه با آلیاژ حاوی  $4/88\text{Al}$ ٪ انجام شده است، تغییر محسوسی در ریزساختار ایجاد نشده و این نوع آلیاژ به چنین فرایندهایی پاسخ نمی‌دهد، (شکل ۹). دلیل این موضوع عدم وجود ناحیه آستنیت در دیاگرام فازای تعادلی است که نمودارهای محاسباتی نیز چنین پدیده‌ای را پیش بینی می‌کنند، (شکل ۶).

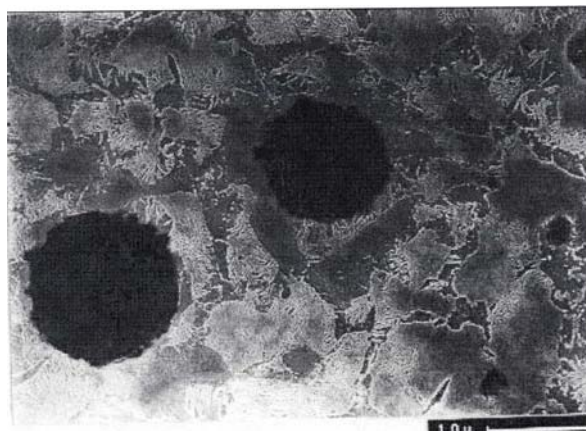
میکروسکوپ‌های نوری از نوع Reichert- و Nikon Jung بوده و برای میکروسکوپی الکترونی روبشی از یک میکروسکوپ SEM Cambridge Series 3 در اتصال با سیستم EDX و یک میکروسکوپ SEM Cambridge Series 4 استفاده شد. برای تحلیل ریزساختار فاصله ۲۴-۲۰ میلی متر اختیار گردید. ولتاژ شتاب دهنده  $20\text{kV}$  بود.

### یافته‌ها

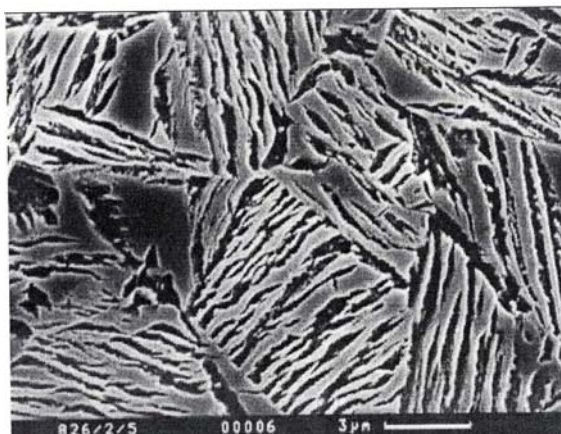
حضور عناصری همانند سیلیسیم و آلومینیوم در آلیاژهای چدنی موجب گرافیت‌زایی می‌شود. نمایش اثر این عناصر در دیاگرام آهن و کربن به وسیله مقاطعی از سیستم آلیاژی Fe-C-Si-Al و به کمک بسته‌های نرم افزاری شبیه ساز مربوطه قابل نمایش هستند. تأثیر افزایش آلومینیوم موجود روی نمودار جزئی Fe-C-Al-Si در شکل‌های (۱ تا ۶) نشان داده شده است. در هر نمودار Al و Si ثابت فرض شده و کربن موجود از صفر تا ۷ درصد تغییر کرده است. دیاگرام‌های فازای برای  $0/01\text{Al}$ ٪،  $0/48\text{Al}$ ٪،  $1/1\text{Al}$ ٪،  $3/10\text{Al}$ ٪،  $4/88\text{Al}$ ٪ و  $6/16\text{Al}$ ٪ ترسیم شده‌اند. میزان سیلیسیم در تمامی حالات  $1/18$ ٪ می‌باشد. این دیاگرام‌ها مشابه نمودار فازای آهن-کربن بوده و فازهای فریت، آستنیت، گرافیت و مذاب در سیستم حضور دارند. مرزهای فازای بیان گر محلی می‌باشد که دو فاز در تعادل با یکدیگر هستند.

همچنین در ارتباط با مقایسه نتایج محاسباتی با موارد تجربی، آلیاژهایی از جنس چدن و با ترکیب شیمیایی تقریباً مشابه تهیه و مجموعه‌ای از بررسی‌های ریز ساختاری، سختی سنجی و دیلاتومتری روی آنها انجام گرفت [15].

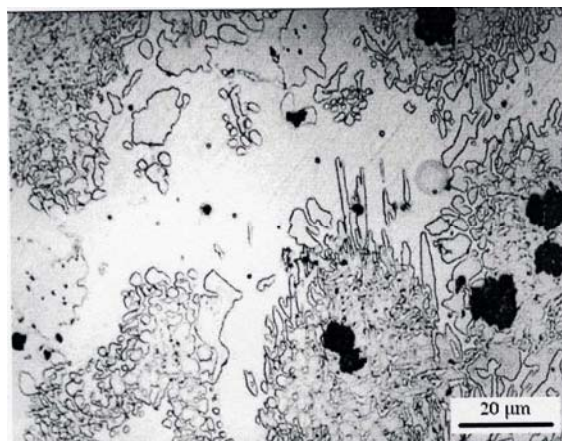
ریزساختار چدن حاوی  $4/88\text{Al}$ ٪ در حالت ریختگی متشکل از گرافیت‌های کروی در زمینه‌ای فریتی - پرلیتی می‌باشد. این نوع از چدن به مدت ۹۰



شکل ۷ ریزساختار SEM چدن نشکن حاوی Al ۴/۸۸٪ در حالت ریختگی.  
ریزساختار شامل کره های گرافیت در زمینه ای فریتی - پرلیتی می باشد (محلول اچ: نایتال ۲٪)

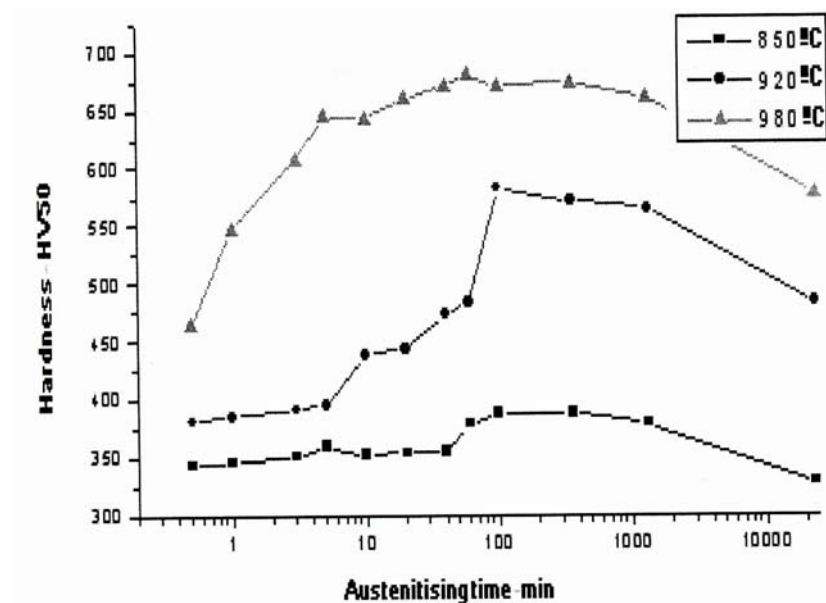


شکل ۸ ریزساختار SEM چدن حاوی Al ۴/۸۸٪ که در دمای °C ۹۲۰ به مدت ۹۰ دقیقه آستنیت و سپس در °C ۳۵۰ به مدت ۱۰۰ دقیقه آستمپر گردیده است. زمینه متشکل از لایه های فریت بینیتی و آستنیت باقیمانده پر کربن می باشد (محلول اچ: نایتال ۲٪)



شکل ۹ ریزساختار LM چدن حاوی Al ۶/۱۶٪ که در دمای °C ۹۲۰ به مدت ۹۰ دقیقه آستنیت و سپس در آب کوئنچ گردیده است. تغییر محسوسی به واسطه عملیات حرارتی در مقایسه با نمونه ریختگی مشاهده نمی شود (محلول اچ: نایتال ۲٪).





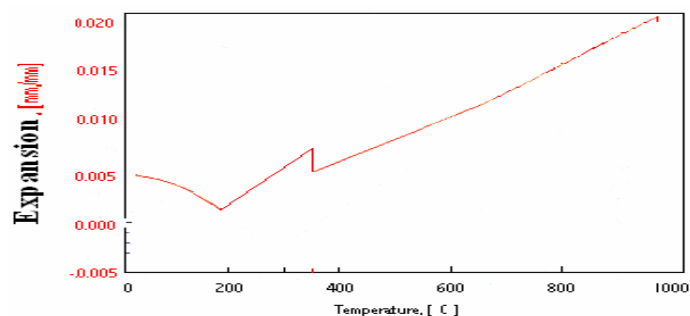
شکل ۱۰ تغییرات سختی بر حسب زمان آستنیت کردن آلیاژ حاوی ۴/۸۸Al برای دماهای متفاوت آستنیت کردن.

اهمیت زیادی به ویژه در فرآیند عملیات حرارتی آلیاژهای آهنی برخوردار است، ناحیه آستنیت ( $\gamma$ ) می باشد. این شکل ها بیانگر این واقعیت می باشند که افزایش آلومینیوم می تواند وسعت ناحیه یاد شده را کاهش دهد که در نتیجه فرآیندهای عملیات حرارتی و ریز ساختار نهایی آلیاژ را به شدت تحت تأثیر قرار می گیرند. نمودارهای رسم شده توسط نرم افزارهای مربوطه نشان می دهند که در آلیاژهای با ترکیب Al ۴/۸۸ یا بیشتر، ناحیه آستنیت کاملاً از بین رفته در صورتی که مطالعات ریزساختاری، سختی سنجی و دیلاتومتری نشان دهنده تغییرات جدی در ساختار این آلیاژها بعد از فرآیند عملیات حرارتی مربوطه می باشد (شکل های ۷ و ۸). از این رو، می توان نتیجه گرفت که به کار گرفتن چنین نرم افزارهایی با وجود همه قابلیت هایی که دارند، نیازمند توجه بیشتری بوده و باید با مشابه سازی شرایط عملی، چگونگی کاربرد آن ها در شرایط غیر تعادلی مشخص گردد [15].

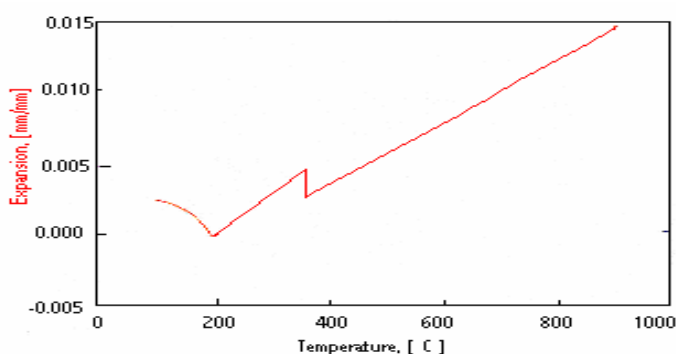
در پایان به عنوان نمونه تغییرات سختی آلیاژ حاوی ۴/۸۸Al که در دماها و زمان های مختلف آستنیت شده، در شکل (۱۰) نشان داده شده است. منحنی تغییرات ابعاد به دست آمده به روش دیلاتومتری آلیاژ ۴/۸۸Al در مقایسه با تعداد دیگری از این خانواده آلیاژی در شکل (۱۱) نمایش داده شده است. هم چنین در مقاله ای دیگر استفاده از عملیات حرارتی آستنیت کردن که نشان دهنده افزایش قابل ملاحظه یکنواختی و کاهش جدایش میکروسکوپی عناصر مهم موجود در آلیاژها همانند آلومینیوم و سیلیسیوم می باشد، گزارش شده است [17].

### بحث

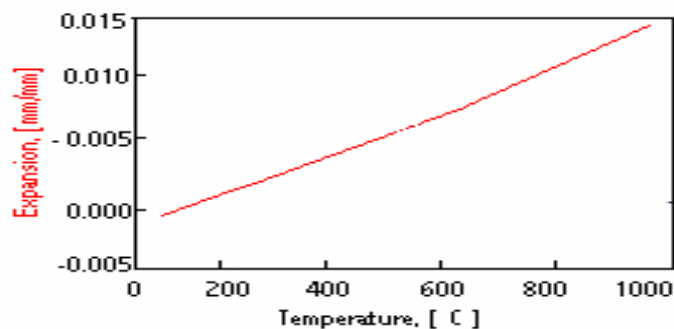
با توجه به شکل های (۱ تا ۶) ملاحظه می گردد که حضور عنصر آلومینیوم می تواند باعث بروز تغییراتی در دامنه پایداری فازهای موجود در دیاگرام تعادلی گردد. از جمله نواحی بسیار مهم در این دیاگرام که از



(الف)



(ب)



(ج)

شکل ۱۱ منحنی های تغییرات انبساط بر حسب درجه حرارت از فرآیند عملیات حرارتی (دیلاتومتری) استفاده شده برای چدن های نشکن حاوی آلومینیوم، آستنیته شده در  $920^{\circ}\text{C}$  به مدت ۱۰ دقیقه و آستمبر شده در  $350^{\circ}\text{C}$  بعد از ۱۰۰ دقیقه که سپس تا دمای محیط سرد شده است. الف)  $\text{Al } 0.48\%$ ، ب)  $\text{Al } 0.88\%$  و ج)  $\text{Al } 1.6\%$

وجود ناحیه  $\gamma$  در این گونه نمودارهای فازي باشد. تغییر موقعیت خطوط حد فاصل مابین نواحی مختلف فازي با افزایش درصد آلومینیوم می تواند از اهمیت ویژه ای برخوردار باشد. حضور عنصری همانند  $\text{Al}$  باعث تغییرات محسوسی در پتانسیل شیمیایی عناصر و

در ارتباط با آلیاژهای با درصدهای بالاتری از  $\text{Al}$ ، نمودارهای محاسباتی و آزمایش های انجام شده توافق بسیار خوبی را نشان می دهند. آستنیته کردن این آلیاژها حتی در زمان های بسیار طولانی و در دماهای بسیار متفاوت امکان پذیر نیست که می تواند بیانگر عدم

(شکل ۱۱-ب) گواه خوبی بر وجود ناحیه آستنیت در چنین آلیاژی است.

### نتیجه گیری

۱ - نمودارهای تعادلی سیستم Fe-C-Al-Si رسم شده در این تحقیق نشان می دهند که افزایش درصد آلومینیوم باعث تحولاتی در محدوده و دامنه فازهای متفاوت موجود می گردد.

۲ - با افزایش درصد آلومینیوم از ۰/۰۱ تا ۶/۱۶ درصد، ناحیه آستنیت در نمودارهای تعادلی فازی کاهشی تدریجی نشان داده و در مقادیر حدود ۴/۸۸٪ Al و بالاتر این ناحیه به طور کامل حذف گردیده است.

۳ - نتایج حاصل از مشاهدات میکروسکوپی، سختی سنجی و دیلاتومتری تأییدی بر صحت این نمودارها در آلیاژهای حاوی مقادیر کم و بالای آلومینیوم است ولی در مقادیر متوسط آلومینیوم اختلاف محسوسی مشاهده می شود که می تواند ناشی از شرایط غیر تعادلی انجماد، بررسی مقاطع ایزوپلس بدون در نظر گرفتن ترکیب شیمیایی واقعی، چگونگی استحاله و یا، فقدان بعضی از اطلاعات در نرم افزارهای موجود برای ترسیم این گونه نمودارها باشد. در همین ارتباط به منظور انطباق بهتر نتایج با اطلاعات موجود، توجه به نحوه رسم نمودارها الزامی است.

### قدردانی

انجام این پژوهش با حمایت مالی وزارت علوم، تحقیقات و فن آوری میسر گردید. از دکتر اندی واتسون، عضو هیات علمی دانشگاه لیدز انگلستان و از مسئولان SGTE، به خاطر کمک های ارزشمند در ترسیم نمودارهای فازی و از دکتر فاتح فاضلی، عضو هیأت علمی دانشگاه فردوسی مشهد به خاطر ارائه نظرهای اصلاحی تشکر می گردد.

قابلیت نفوذ آن ها گردیده و با تغییر حد حلالیت و شرایط تعادلی، پایداری فازها را تحت تأثیر قرار می دهد. ساختار نهایی هر قطعه ریختگی متأثر از حضور کلیه عناصر موجود در آن آلیاژ می باشد. در همین ارتباط توجه به ریز ساختار آلیاژهای تهیه شده در تبیین اثر آلومینیوم می تواند بسیار مفید باشد. شکل (۷) نمایش دهنده ریز ساختار آلیاژ ۴/۸۸٪ Al در حالت ریختگی است که متشکل از گرافیت های کروی در زمینه فریتی - پرلیتی است. با انجام عملیات حرارتی آستنیت کردن و آستمپر کردن در ساختار زمینه تغییر جدی ایجاد شده و پس از چنین فرآیندی، زمینه متشکل از فریت بینیتی و آستنیت باقیمانده پرکربن می باشد، (شکل ۷). ساختار کاملاً بینیتی در فرآیند عملیات حرارتی آستنیت کردن و آستمپر کردن بیانگر وجود ناحیه ۷ در دیاگرام های فازی است ولی متأسفانه بسته های نرم افزاری طراحی شده در نمایش صحیح این نواحی محدودیت دارند. از دیگر نواقص آن ها کمبود اطلاعات مربوط به پایگاه داده هاست. به عنوان مثال در چنین نرم افزارهایی کمبود سیستم فازی Al-C و آلیاژهای دوتایی مربوط کاملاً مشهود است و در نتیجه الزام به انتخاب گزینه های دیگر در ارتباط با رسم سیستم Fe-C-Si-Al چنین انحرافی را باعث می شود.

وجود تغییرات سختی برحسب زمان آستنیت کردن در آلیاژهای مختلف نیز مؤید این مطلب است که استحاله زمینه فریتی - پرلیتی این نوع چدن در محدوده دمایی در نظر گرفته شده ممکن بوده و افزایش سختی در زمان های طولانی تر به معنی درصد بالاتر فاز مارتنزیت، پس از کوئنچ کردن نمونه ها تا دمای اطاق می باشد. کاهش مختصر سختی در زمان های طولانی تر ناشی از رشد دانه های آستنیت می باشد، (شکل ۱۰). افزون بر این، منحنی های رسم شده توسط روش دیلاتومتری و به ویژه برای آلیاژ حاوی ۴/۸۸٪ Al نیز نشان دهنده انحراف از خط مستقیم در دمای استحاله آستنیت به سایر فازها در مرحله کاهش دما می باشد.

## مراجع

1. Kotzin E., "Metal Casters Reference and Guide", USA, AFS, Aug. (1972).
2. Angus H.T., "Cast iron, Physical and Engineering Properties", London, Butterworths & Co (Publishers) Ltd., (1978).
3. Elliott R., "Cast Iron Technology", London, Butterworths & Co. (Publishers) Ltd., (1988).
4. Dinsdale A.T., "CALPHAD, SGTE Data for Pure Elements", 15, 4, pp. 317-425 (1991).
5. Eriksson G., and Hack K., "ChemSage – A Computer Program for the Calculation of Complex Chemical Equiliria", Metallurgical Trans. B, V.21B, pp. 1013-1023 (1990).
6. National Physical Laboratory (NPL), Teddington, Middlesex, UK, TW11 OLW, Reproduced by permission of the controller of HMSO, (1999).  
<http://www.npl.co.uk/npl/cmmt/mtdata/mtdata.htm>
7. Sundman B.O., "Thermo-Cal System, Software Description Form", Department of material science and engineering, Stockholm, Sweden, Jan (1996).
8. Kandiner H.J., and Brinkley S.R., "Calculation of Complex Equilibrium Problem, Ind. Eng. Chem.", Vol.2, No.5, pp. 850-855 (1950).
9. Gleb-Belov V., "Thermodynamic Modeling and Thermodynamic Computer Science", Glushko Thermocenter, IHED IVTAN Association of Russian Academy of Sciences (2003).
10. Hack K., "Thermodynamics at work", Institute of Metals, London (1996).
11. Pearce J.G., and Bromage K., "Copper in Cast Iron", London, Hutchinson & Co. (Publishers) Ltd. (1965).
12. Walson R.P., "Aluminium Alloyed Cast Iron Properties Used in Design", AFS, Transactions 85, pp.51-58 (1997).
13. Stefanescu D.M., and Martinez F., "Compacted/Vermicular Graphite Cast Irons in the Fe-C-Al System", AFS. Transactions, 39, pp. 39-46 (1982).
14. Smickley R.J., and Rundman K.B., "The Effect of Aluminium on the Structure and Properties of Grey Cast Iron", AFS Transactions 89, pp. 205-214 (1981).
15. Kiani-Rashid A.R., "The Influence of Aluminium and Heat Treatment Conditions on Austempered Ductile Irons", Ph.D., Thesis, University of Leeds, U.K. (2000).
16. Kiani-Rashid A.R., and Edmonds D.V., "Oxidation Behaviour of Al-Alloyed Ductile Irons at Elevated Temperature", ECASIA,03, Estrel Convention Center, Berlin Germany, pp. 319, 5-10 October (2003).
۱۷. علیرضا کیانی رشید و محمدعلی گل‌عذار، "الگوی جدایش میکروسکوپی آلومینیوم و سیلیسیم در ریزساختار زمینه چدن‌ها با گرافیت کروی"، استقلال، نشریه مهندسی دانشگاه صنعتی اصفهان، سال ۲۲، شماره ۲، ص ۱۷۷-۱۸۸، اسفند (۱۳۸۲).